

Министерство образования и науки Российской Федерации Федеральное государственное
бюджетное образовательное учреждение высшего профессионального образования
«Московский государственный технический университет имени Н.Э. Баумана»
(МГТУ им. Н. Э. Баумана)

ФАКУЛЬТЕТ «Информатика и системы управления»

КАФЕДРА «Теоретическая информатика и компьютерные технологии»

**Расчетно-пояснительная записка
к курсовому проекту по дисциплине
«Численные методы»**

*«Исследование нелинейных процессов
в диссипативных распределенных системах»*

Выполнил(а) студент группы ИУ9-82

Атымханова М.

Проверил

Каганов Ю.Т.

Москва, 2019 г.

Содержание

1	Введение	3
2	Постановка задачи	5
3	Формализация задачи и выбор численного метода	6
4	Обзор метода	8
4.1	Разностная сетка	8
4.2	Минусы явной и неявной разностных схем	9
4.3	Метод переменных направлений	9
4.4	Абсолютная устойчивость продольно-поперечной схемы	11
5	Реализация	12
6	Тестирование	14
7	Заключение	18
	Список литературы	19

1 Введение

Множество различных научных, технических и социально-экономических процессов и явлений могут быть описаны системами нелинейных дифференциальных уравнений.

Огромный класс физических, химических и биологических сред, широко изучающихся нелинейной хаотической динамикой, описывается системой уравнений в частных производных реакция-диффузия. Для описания конкретных систем в экологии, химической кинетике, физике плазмы и многих других областях было предложено множество таких моделей.

В физике модели диссипативных структур носят конкретный характер, результаты моделирования хорошо сходятся с экспериментом. Теория диссипативных структур вошла в новую науку - синергетику, развиваемую Хакеном.[1] Математическая модель диссипативных структур имеет общий вид:

$$\frac{\partial x_i}{\partial t} = F_i(x_1, x_2, \dots, x_n) + D_i \frac{\partial^2 x_i}{\partial r^2}$$

В настоящее время имеется довольно много моделей диссипативных структур, построенных так, что достигается сходство решения модели с конкретными наблюдаемыми процессами. Несмотря на все многообразие этих процессов, большинство моделей содержат два уравнения вида:

$$u_t = D_1 u_{xx} + f(u, v, \mu)$$

$$v_t = D_2 v_{xx} + g(u, v, \mu)$$

где $D_i, i = \{1, 2\}$ - коэффициенты диффузии веществ u, v , которые остаются постоянными. Параметр μ отражает характеристики ткани, которые постепенно меняются в ходе развития. Особый интерес представляют задачи типа реакция-диффузия, поведение которых таково, что при всех значениях скалярного системного параметра меньше некоторого бифуркационного значения система реакция-диффузия имеет устойчивое стационарное и однородное по пространству решение, называемое термодинамической ветвью. При значениях скалярного системного параметра больше этого бифуркационного значения термодинамическая ветвь теряет устойчивость, а поведение решений усложняется. Это могут быть стационарные

диссипативные структуры, периодические колебания или нерегулярные непериодические нестационарные структуры, называемые диффузионным хаосом, а также биологической (или химической) турбулентностью.

В работе [2] было показано, что любое решение системы уравнений реакция-диффузия в окрестности термодинамической ветви может быть выражено через комплекснозначную функцию

$$W_\tau = W + (1 + ic_1)W_{rr} - (1 + ic_2)W|W|^2$$

где $r = \varepsilon x$, $\tau = \varepsilon^2 t$, c_1, c_2 - действительные постоянные, значения которых определяются по коэффициентам D_1, D_2 , функциям $f(u, v, \mu), g(u, v, \mu)$ и их производным на термодинамической ветви, а $\varepsilon = (\mu - \mu_0)^{\frac{1}{2}}$ - малый параметр.

В работе [3] была построена диаграмма, отражающая области параметров $\{c_1, c_2\}$, при которых на плоскости (x, y) наблюдаются плоские волны, спиральные волны и диффузионный хаос.

В данной работе уравнение Курамото-Цузуки решается численным методом, решение визуализируется для действительной части на пространстве четырехугольника в (x, y) . Получены в сооответствии со значениями параметров из диаграммы работы [3] различные состояния системы и зафиксирован переход одного состояния в другое. Программа визуализации представляет анимацию с заданным промежутком во времени, что способствует наглядному представлению процессов, происходящих в нелинейных диссипативных средах диффузионного типа. Такие системы представляют, например, ветровые волны на воде[4] и ионно-звуковые волны в плазме[5].

2 Постановка задачи

Целью данной работы является исследование решения уравнения Курамото-Цузуки, описывающего автоколебательные среды в двумерном случае.

Для этого решаются следующие задачи:

- Задача выбора численного метода, разработка программной реализации
- Обоснование устойчивости метода и корректности аппроксимации поставленной задачи.
- Программная реализация графического отображения системы с изменением во времени с учетом приемлимой ограниченности по времени исполнения на длительных промежутках времени и больших пространственных областях.

3 Формализация задачи и выбор численного метода

Уравнение Курамото-Цузуки:

$$W_\tau = W + (1 + ic_1)W_{rr} - (1 + ic_2)W|W|^2$$

И его вторая краевая задача в двумерном случае

$$W_\tau = W + (1 + ic_1)(W_{xx} + W_{yy}) - (1 + ic_2)W|W|^2,$$

$$0 \leq x \leq l, 0 \leq y \leq l, 0 \leq t < \infty,$$

$$W_x(0, y, t) = W_x(l, y, t) = W_y(x, 0, t) = W_y(x, l, t) = 0$$

$$W(x, y, 0) = W_0(x, y)$$

где $W = W(x, y, t) = u(x, y, t) + iv(x, y, t)$ - комплекснозначная функция, выражающая отклонение от термодинамической ветви, c_1, c_2 - действительные постоянные. Начальные данные несимметричны и имеют вид:

$$W_0 = u_0 + iv_0 = 0.1 \sum_{m,n=0}^4 \cos \frac{\pi m x}{l} \cos \frac{\pi n y}{l} \left(1 + \frac{i}{m+1}\right)$$

Относительно вещественных функций u, v задача принимает вид:

$$u_t = u + u_{xx} + u_{yy} - c_1(v_{xx} + v_{yy}) - (u^2 + v^2)(u - c_2 v),$$

$$v_t = v + v_{xx} + v_{yy} - c_1(u_{xx} + u_{yy}) - (u^2 + v^2)(v + c_2 u),$$

$$0 \leq x \leq l, 0 \leq y \leq l, 0 \leq t < \infty,$$

$$u_x(0, y, t) = u_x(l, y, t) = u_y(x, 0, t) = u_y(x, l, t) = 0$$

$$v_x(0, y, t) = v_x(l, y, t) = v_y(x, 0, t) = v_y(x, l, t) = 0$$

$$u_0 = 0.1 \sum_{m,n=0}^4 \cos \frac{\pi m x}{l} \cos \frac{\pi n y}{l}$$

$$v_0 = \sum_{m,n=0}^4 \frac{0.1}{m+1} \cos \frac{\pi m x}{l} \cos \frac{\pi n y}{l}$$

Для численных расчетов модели поставленной задачи использовался метод Рунге-Кутты 4-ого порядка аппроксимации. Для решения однородной системы с диффузией использовался аппарат разностных схем и метод переменных направлений [6]. Решения объединялись с использованием метода разделения по физическим процессам. В итоге на каждой итерации метода Рунге-Кутты заполнялась разностная

сетка значениями действительной части функции-решения в точках сетки в текущий момент действия метода Рунге-Кутты.

4 Обзор метода

Исторически, метод переменных направлений развивался для решения задачи диффузии в прямоугольнике с помощью метода конечных разностей. Разностные схемы возникают в результате аппроксимации той или иной задачи математической физики и предназначены для ее приближенного решения.

Поэтому в теории разностных схем важное место занимают вопросы аппроксимации дифференциальных уравнений разностными и сходимости решений разностных задач к решениям исходных дифференциальных задач.

Однако, построенная разностная схема превращается в самостоятельный математический объект и может изучаться вне связи с породившей ее дифференциальной задачей. При этом отпадают проблемы аппроксимации и сходимости и остается лишь проблема корректности разностной схемы, т.е. ее разрешимости и устойчивости.

4.1 Разностная сетка

Рассмотрим краевую задачу для двумерного уравнения теплопроводности в прямоугольнике $G = \{0 < x_1 < l_1, 0 < x_2 < l_2\}$, удовлетворяющую пространственной части основной задачи:

$$\begin{cases} \frac{\partial u}{\partial t} = \frac{\partial^2 u}{\partial x_1^2} + \frac{\partial^2 u}{\partial x_2^2}, & x = (x_1, x_2) \in G, 0 < t < T \\ u(x, t) = \mu(x, t), & x \in \partial G, 0 \leq t \leq T \\ u(x, 0) = u_0(x), & x \in G + \partial G \end{cases} \quad (1)$$

Введем в $\bar{G} = G + \partial G$ равномерную разностную сетку $\Omega_h = \omega_h \cup \gamma_h$:

$$x_{ij} = (x_{1,i}, x_{2,j}); \quad x_{1,i} = ih_1, \quad x_{2,j} = jh_2; \quad h_1 N_1 = l_1, \quad h_2 N_2 = l_2;$$

$$\omega_h = \{x_{ij}; \quad i = 1, 2, \dots, N_1 - 1; \quad j = 1, 2, \dots, N_2 - 1\};$$

$$\gamma_h = \{x_{i0}, x_{iN_2}, x_{0j}, x_{N_1j}, \quad i = 1, 2, \dots, N_1 - 1; \quad j = 1, 2, \dots, N_2 - 1\};$$

А также сетку по времени

$$\omega_t = \{t_n = n\tau; \quad n = 0, 1, \dots, K - 1; \quad \tau K = T\}.$$

4.2 Минусы явной и неявной разностных схем

Условие устойчивости для явной разностной схемы, аппроксимирующей исходную задачу, накладывает очень жесткое ограничение на шаг τ : $\tau \leq (\frac{1}{h_1^2} + \frac{1}{h_2^2})^{-1}/2$. Пусть, например, $h_1 = h_2 = 0.01$. Тогда устойчивость выполняется при $\tau \leq 0.25 * 10^{-4}$. Для $T = 1$ надо совершить не менее чем $n = T/\tau \geq 40000$ шагов по времени. А на практике зачастую возникает необходимость находить решение на существенно большие моменты времени, и вычисления с таким мелким шагом по времени оказываются неприемлимыми.

А для нахождения решения по неявной схеме на каждом шаге по времени необходимо решать систему $(N_1 - 1) \times (N_2 - 1)$ уравнений с наличием разностного оператора. Решение таких систем уравнений представляет значительную трудность вследствие большой размерности системы. Так, например, если $h_1 = h_2 = 0.01$ и $l_1 = l_2 = 1$, то число неизвестных y_{ij} в системе будет равно 10000. Что неприемливо с точки зрения быстродействия программы.

4.3 Метод переменных направлений

Метод переменных направлений сочетает положительные стороны явной и неявной схем - простоту нахождения решения и абсолютную устойчивость. Метод основан на сведении многомерной задачи к последовательности одномерных задач.

Разностная схема метода переменных направлений для уравнения (1), называемая продольно-поперечной разностной схемой или схемой Писмена-Рэчфорда. В этой схеме переход к следующему временному слою осуществляется в два этапа. На каждом этапе уравнения являются неявными только по одной из переменных :

$$\frac{y_{ij}^{n+1/2} - y_{ij}^n}{0.5\tau} = \Lambda_1 y_{ij}^{n+1/2} + \Lambda_2 y_{ij}^n, x_{ij} \in \omega_h; \quad (2)$$

$$\frac{y_{ij}^{n+1} - y_{ij}^{n+1/2}}{0.5\tau} = \Lambda_1 y_{ij}^{n+1/2} + \Lambda_2 y_{ij}^{n+1}, x_{ij} \in \omega_h. \quad (3)$$

$$\Lambda_1 y_{ij} = y_{\bar{x}_1 x_1, ij} = \frac{y_{i+1,j} - 2y_{ij} + y_{i-1,j}}{h_1^2},$$

$$\Lambda_2 y_{ij} = y_{\bar{x}_2 x_2, ij} = \frac{y_{i,j+1} - 2y_{ij} + y_{i,j-1}}{h_2^2},$$

$$\Lambda = \Lambda_1 + \Lambda_2$$

На первом этапе определяются промежуточные значения $y_{ij}^{n+1/2}$ из уравнений

$$(E - 0.5\tau\Lambda_1)y_{ij}^{n+1/2} = (E + 0.5\tau\Lambda_2)y_{ij}^n; \quad (4)$$

$y_{0j}^{n+1/2}, y_{N_1j}^{n+1/2}$ будут определены далее.

При каждом фиксированном $j = 1, 2, \dots, N_2 - 1$ имеем систему с трехдиагональной матрицей, которая решается методом прогонки. То есть для реализации первого этапа требуется $O(N_1 N_2)$ арифметических действий.

На втором этапе, пользуясь найденными значениями $y_{ij}^{n+1/2}$, вычисляются значения y_{ij}^{n+1} из уравнений

$$(E - 0.5\tau\Lambda_2)y_{ij}^{n+1} = (E + 0.5\tau\Lambda_1)y_{ij}^{n+1/2}; \quad (5)$$

$y_{i0}^{n+1} = \mu(x_{i0}, t_{n+1}), y_{iN_2}^{n+1} = \mu(x_{iN_2}, t_{n+1})$ При каждом фиксированном $i = 1, 2, \dots, N_1 - 1$ уравнения решаются прогонкой по j . Для этого требуется $O(N_1 N_2)$ операций.

Таким образом, для осуществления шага по времени в продольно-поперечной схеме требуется $O(N_1 N_2)$ арифметических действий.

Далее исключим из (3) промежуточные значения $y_{ij}^{n+1/2}$. Просуммируем и возьмем разность (2) и (3):

$$\begin{aligned} \frac{y_{ij}^{n+1} - 2y_{ij}^{n+1/2} + y_{ij}^n}{0.5\tau} &= \Lambda_2(y_{ij}^{n+1} - y_{ij}^n) \\ \frac{y_{ij}^{n+1} - y_{ij}^n}{0.5\tau} &= 2\Lambda_1 y_{ij}^{n+1/2} + \Lambda_2(y_{ij}^{n+1} + y_{ij}^n) \end{aligned}$$

Из первого уравнения выражается $y_{ij}^{n+1/2}$:

$$y_{ij}^{n+1/2} = \frac{y_{ij}^{n+1} + y_{ij}^n}{2} - \frac{\tau}{4}\Lambda_2(y_{ij}^{n+1} - y_{ij}^n)$$

После чего подставим $y_{ij}^{n+1/2}$ во второе уравнение. Получим:

$$\frac{y_{ij}^{n+1} - y_{ij}^n}{\tau} = \frac{1}{2}\Lambda(y_{ij}^{n+1/2} + y_{ij}^n) - \frac{\tau}{4}\Lambda_1\Lambda_2(y_{ij}^{n+1} - y_{ij}^n)$$

Последнее равенство справедливо для всех $x_{ij} \in \omega_h$, если при каждом $j = 1, 2, \dots, N_2 - 1$ определить

$$y_{0j}^{n+1/2} = \frac{\mu_{0j}^{n+1} + \mu_{0j}^n}{2} - \frac{\tau}{4} \Lambda_2(\mu_{0j}^{n+1} - \mu_{0j}^n)$$

$$y_{N_1j}^{n+1/2} = \frac{\mu_{N_1j}^{n+1} + \mu_{N_1j}^n}{2} - \frac{\tau}{4} \Lambda_2(\mu_{N_1j}^{n+1} - \mu_{N_1j}^n)$$

4.4 Абсолютная устойчивость продольно-поперечной схемы

Для исследования устойчивости продольно-поперечной схемы рассмотрим соответствующую ей однородную разностную задачу:

$$\frac{y_{ij}^{n+1} - y_{ij}^n}{\tau} = \frac{1}{2} \Lambda(y_{ij}^{n+1/2} + y_{ij}^n) - \frac{\tau}{4} \Lambda_1 \Lambda_2(y_{ij}^{n+1} - y_{ij}^n), \quad x_{ij} \in \omega_h, \quad t_n \in \omega_\tau$$

$$y_{ij}^{n+1} = 0, \quad x_{ij} \in \gamma_h, \quad t_n \in \omega_\tau$$

$$y_{ij}^0 = u_0(x_{ij}), \quad x_{ij} \in \Omega_h$$

В введенном ранее пространстве $H_h = \{y(x_{ij}); x_{ij} \in \Omega_h, y|_{\gamma_h} = 0\}$ зададим операторы A_1, A_2, A равенствами:

$$A_1 y_{ij} = -\Lambda_1 y_{ij}, \quad A_2 y_{ij} = -\Lambda_2 y_{ij}, \quad x_{ij} \in \omega_h, \quad y|_{\gamma_h} = 0; \quad A = A_1 + A_2$$

Обозначая $y_n = y(t_n) \in H_h$, в операторной форме записи схема примет вид

$$(E + \frac{\tau^2}{4} A_1 A_2) \frac{y_{n+1} - y_n}{\tau} + \frac{1}{2} A(y_n + y_{n+1}) = 0,$$

откуда получается канонический вид схемы

$$B \frac{y_{n+1} - y_n}{\tau} + A y_n = 0, \quad B = E + \frac{\tau^2}{4} A_1 A_2 + \frac{\tau}{2} A$$

Учитывая, что $A^* = A > 0$, условие $B \geq 0.5\tau A$, достаточное для устойчивости схемы, примет вид

$$E + \frac{\tau^2}{4} A_1 A_2 + \frac{\tau}{2} A \geq \frac{\tau}{2} A$$

Это условие выполняется при любых τ, h_1, h_2 , поскольку оператор $A_1 A_2$ положительно определен.

Абсолютная устойчивость схемы доказана.

5 Реализация

Приведен листинг функции численного решения уравнения диффузии.

```
1 void Diffusion(double **f, double D){
2     double **g = (double **) malloc((N1 + 1) * sizeof(double *));
3     for (int i = 0; i < N1 + 1; ++i) {
4         g[i] = (double *) malloc((N2 + 1) * sizeof(double));
5     }
6
7     double A = D * t / (2 * h1 * h1);
8     double B = D * t / (2 * h2 * h2);
9     double C = - 1 + D * (t / (h1 * h1));
10
11     double **F = (double **) malloc((N1 + 1) * sizeof(double *));
12
13     for (int i = 0; i < N1 + 1; ++i) {
14         F[i] = (double *) malloc((N2 + 1) * sizeof(double));
15     }
16
17     double alpha[N1+1], betta[N1+1];
18
19     for(int i = 1; i < N1; i++)
20         for (int j = 1; j < N2; j++)
21             F[i][j] = - f[i][j] - B * (f[i][j-1] - 2 * f[i][j] + f[i][j+1]);
22
23     for (int j = 1; j < N2; j++){
24         alpha[1] = 1;
25         betta[1] = 0;
26         for(int i = 1; i < N1; i++){
27             alpha[i+1] = - A / (A * alpha[i] + C);
28             betta[i+1] = (F[i][j] - A * betta[i]) / (A * alpha[i] + C);
29         }
30         g[N1][j] = betta[N1] / (1 - alpha[N1]);
31         for (int i = N1-1; i >= 0; i--)
32             g[i][j] = (alpha[i+1] * g[i+1][j]) + betta[i+1];
33     }
34     C = - 1 + D * (t / (h2 * h2));
35
36     for (int j = 1; j < N2; j++)
37         for (int i = 1; i < N1; i++)
38             F[i][j] = - g[i][j] - A * (g[i-1][j] - 2 * g[i][j] + g[i+1][j]);
39     for (int i = 1; i < N1; i++) {
40         alpha[1] = 1;
```

```

41     betta[1] = 0;
42     for(int j = 1; j < N2; j++){
43         alpha[j+1] = - B / (B * alpha[j] + C);
44         betta[j+1] = (F[i][j] - B * betta[j]) / (B * alpha[j] + C);
45     }
46     f[i][N2] = betta[N2] / (1 - alpha[N2]);
47     for (int j = N2-1; j > 0; j--){
48         f[i][j] = (alpha[j+1] * f[i][j+1]) + betta[j+1];
49     }
50 }
51
52 for (int i = 0; i < N1 + 1; ++i) {
53     free(g[i]);
54 }
55 free(g);
56
57 for (int i = 0; i < N1 + 1; ++i) {
58     free(F[i]);
59 }
60 free(F);
61 }

```

Визуализации решения была спроектирована как комплекс программ, состоящий из программ с использованием библиотеки OpenGL и файлов с вершинным и фрагментным шейдерами. Программа осуществляет вызов функции просчета пространственной сетки и заполнения массива текущей итерации метода Рунге-Кутты по времени. Закончив предпросчет, с частотой обновления экрана программы пространственные решения сменяют друг друга во времени обеспечивая непрерывность процесса. Изменяя параметры системы можно наблюдать возникновение различных структур.

6 Тестирование

Известно [7], что решениями уравнения Курамото-Цузуки могут быть плоские волны, концентрические расходящиеся фазовые волны (пейсмекеры), а также спиральные волны. В некоторых областях изменения значений параметров (c_1, c_2) количество спиральных волн начинает увеличиваться, что приводит в конечном итоге к их разрушению и к установлению в активной автоколебательной среде, описываемой уравнением, хаотических или турбулентных режимов.

На рисунке 1 представлена диаграмма, отражающая области параметров $\{c_1, c_2\}$, при которых на плоскости (x, y) наблюдаются плоские волны, спиральные волны и диффузионный хаос.[3]

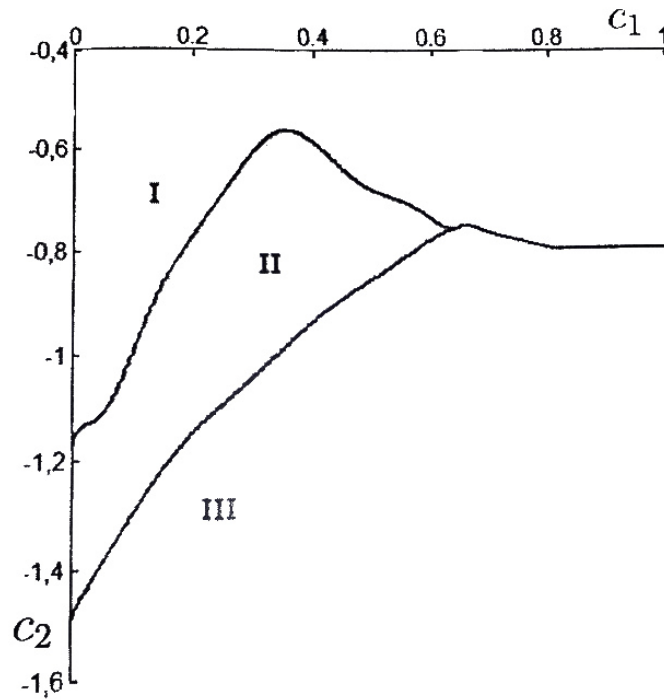


Рис. 1: Плоскость параметров $\{c_1, c_2\}$

- I - плоские волны
- II - спиральные волны
- III - диффузионный хаос

При тестировании программы для разных областей параметров удалось получить соответствующие результаты.

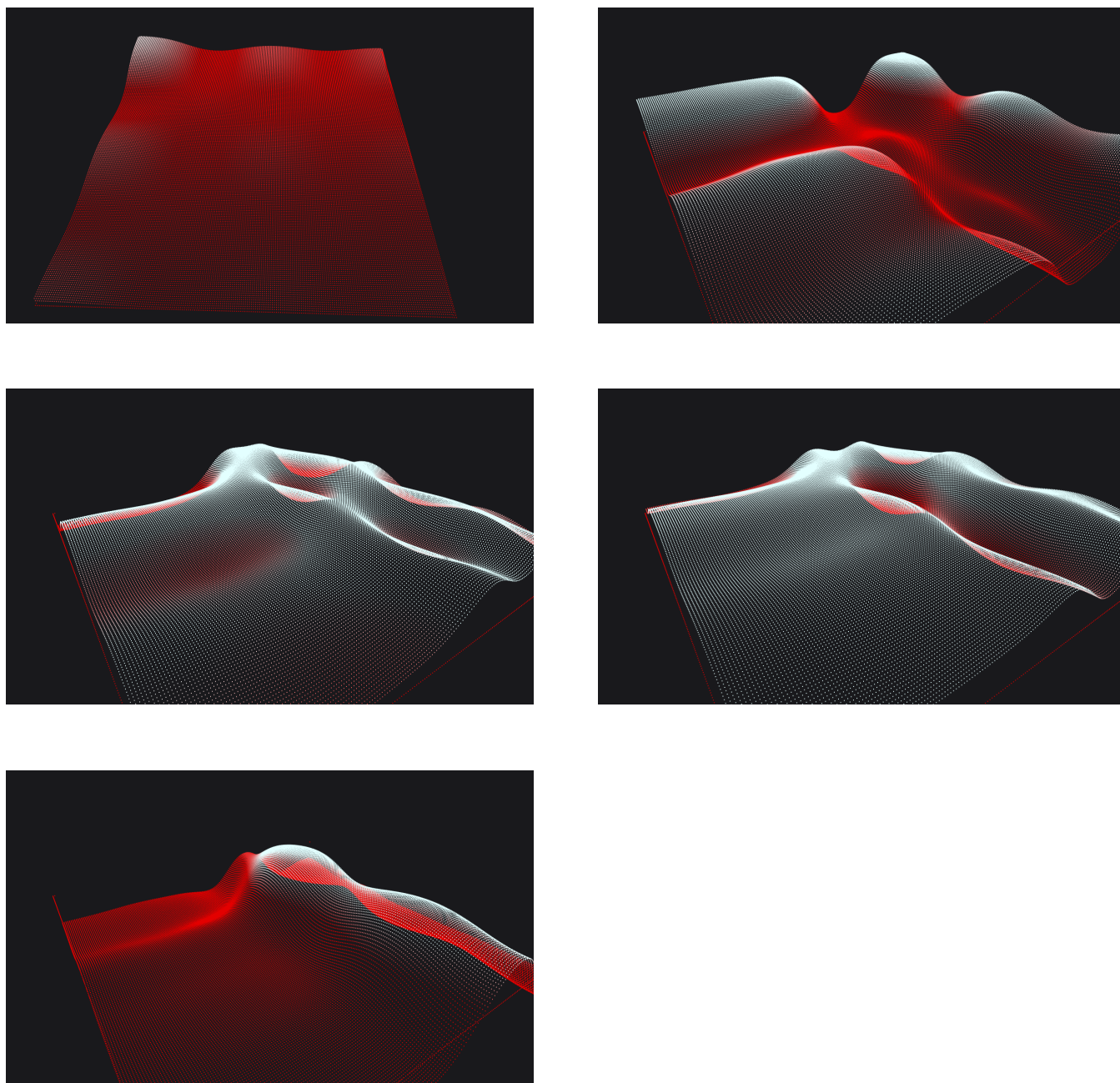


Рис. 4: Плоские волны - зарождение спиральной волны

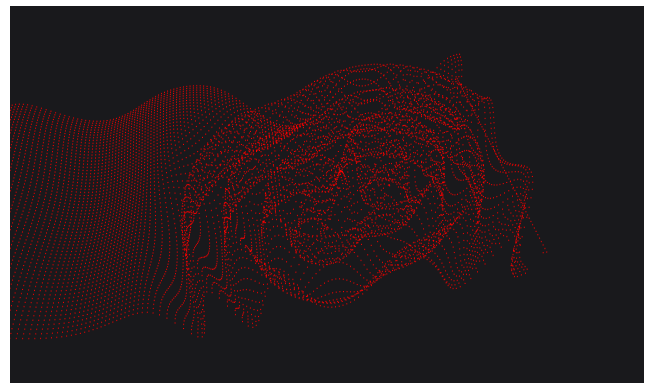
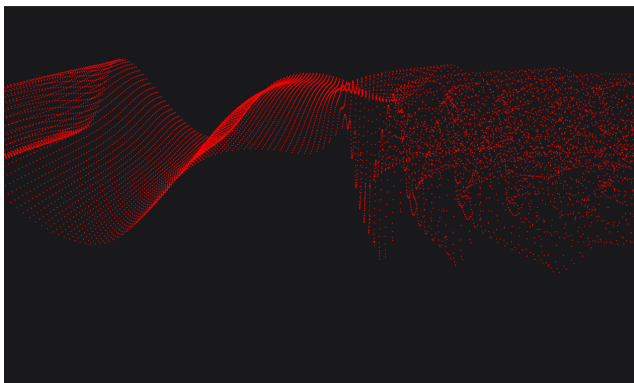
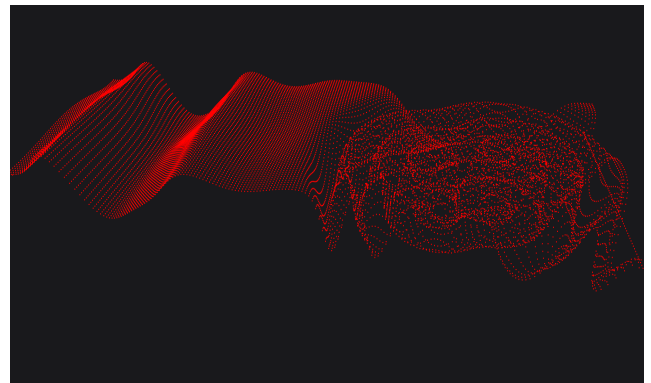
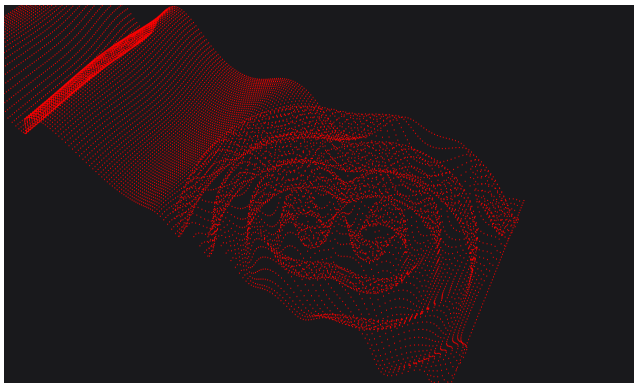
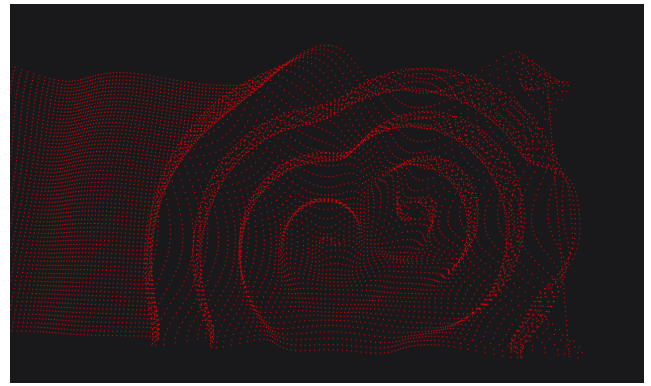
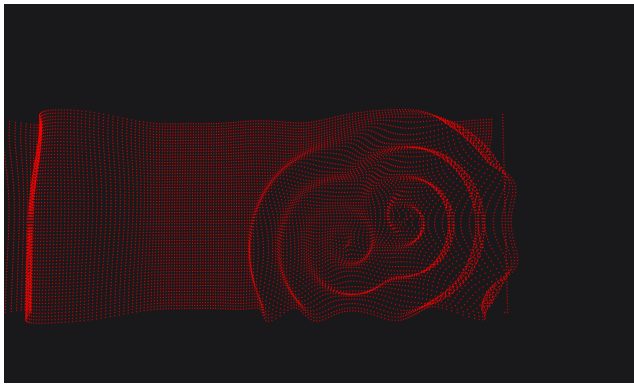


Рис. 7: Спиральные волны

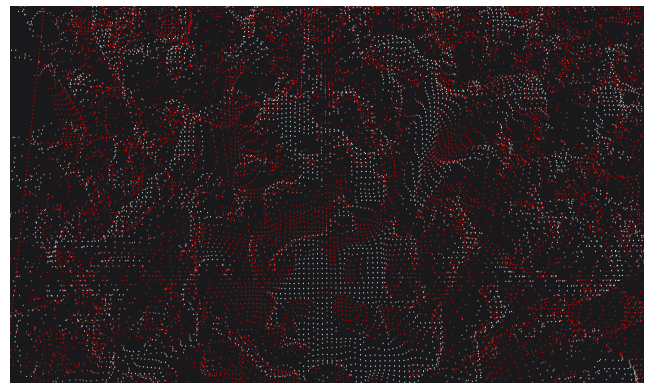
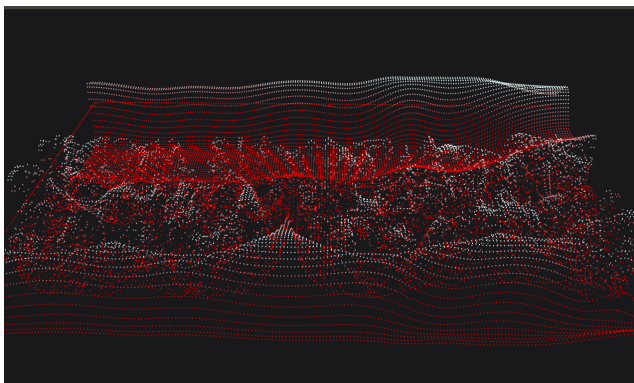
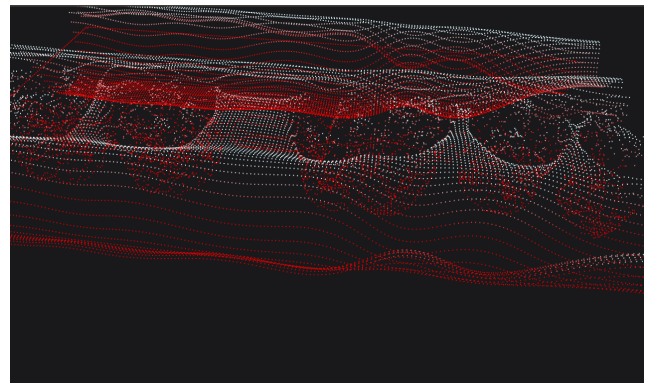
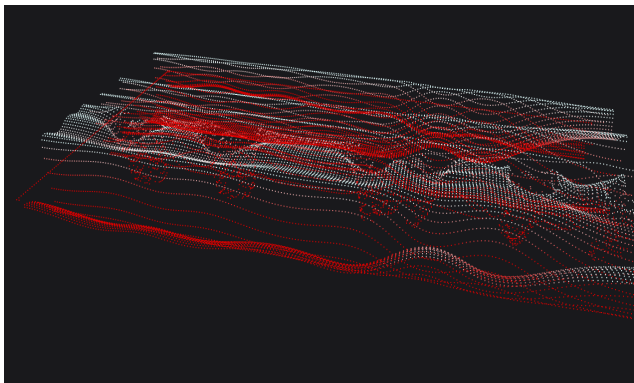
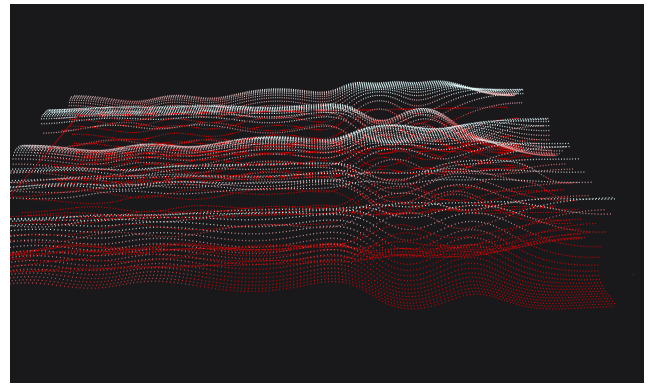
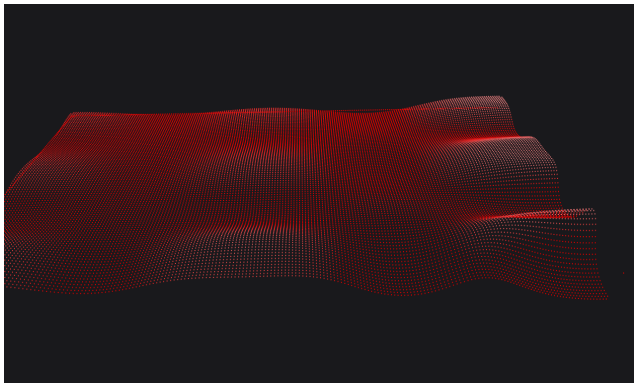


Рис. 10: Зарождение хаоса

7 Заключение

В работе была построена и исследована модель нелинейного процесса в диссипативной распределенной системе.

Наблюдались различные режимы возникновения диссипативных структур.

Исследована область параметров, отвечающая режиму взаимодействия пространственных и временных структур модели.

Получены следующие результаты:

- Корректно построенная модель с эффективным временем вычисления
- Оптимальная по времени выполнения и качеству изображения визуализация процесса в динамике.

Список литературы

- [1] Хакен Г. *Синергетика*. / —М.:Мир, 1980
- [2] Kuramoto Y., Tsuzuki T. *On the formation of dissipative structures in reaction-diffusion systems*. / — Progr.Theor.Phys., 1975. Vol.54 N 3. P. 687-699.
- [3] Карамышева Т.В. *Диффузионный хаос в системах уравнений реакция-диффузия* / —:дис. ... канд. физ-мат. наук: 05.13.18.
- [4] Андронов А.А., Фабрикант А.Л. *Затухание Ландау, ветровые волны и свисток*// Нелинейные волны. - М.:Наука, 1979. С. 68-104.
- [5] Рабинович М.И, Фабрикант А.Л. *Стохастическая автомодуляция волн в неравновесных средах*// ЖЭТФ.1979.Т.77, Вып.2(8).С617-629.
- [6] Самарский А.А. *Введение в теорию разностных схем*./ / - М.:Наука, 1991. 550с.
- [7] Ахромеева Т.С., Курдюмов С.П., Малинецкий Г.Г., Самарский А.А. *Нестационарные структуры и диффузионный хаос*. / —М.:Наука, 1992, 541 с.